

# Patchworking 方法在 Hilbert 16 问题中的应用

张陈成, 519071910019

致远学院, 上海交通大学.

日期: 2022 年 6 月 2 日

## 摘 要

本文旨在介绍 Oleg Viro 为解决 Hilbert 问题所特创的 Patchworking 方法.

## 1 Hilbert 16th 问题简介

### 1.1 问题提出

Harnack 于 1876 年对平面实代数曲线的亏格估计 [5] 系 Hilbert 16th 问题之肇端. 其核心定理叙述如下:

**定理 1.1.** 考虑实射影平面  $\mathbb{P}_{\mathbb{R}}^2$  中的非奇异实代数曲线  $\mathbb{R}A$ . 记  $m$  为  $\mathbb{R}A$  的度,  $\kappa := H_0(\mathbb{P}_{\mathbb{R}}^2 \setminus \mathbb{R}A)$  为  $\mathbb{P}_{\mathbb{R}}^2 \setminus \mathbb{R}A$  的连通度, 则有如下不等式

$$\frac{1 - (-1)^m}{2} \leq \kappa \leq \binom{m-1}{2} + 1. \quad (1)$$

特别地, 称  $\mathbb{R}A$  为  $\mathcal{M}$ -曲线若且仅若  $\kappa = \binom{m-1}{2} + 1$ .

尔后, 大批数学家试图明确  $\mathbb{P}_{\mathbb{R}}^2$  在  $\mathcal{M}$ -曲线划分下的连通分支之相对位置, 即  $\mathcal{M}$ -曲线之卵形结构的相对排列位置. 此后依照 [10] 中记号描述卵形结构, 即

- 以  $k(\in \mathbb{N})$  表示无交集的  $k$  个圈;
- $a \amalg b$  表示取  $a$  与  $b$  之无交并,  $a, b$  为集合;
- $\langle a \rangle$  表示置  $a$  于 1 内.

实例见图 1.

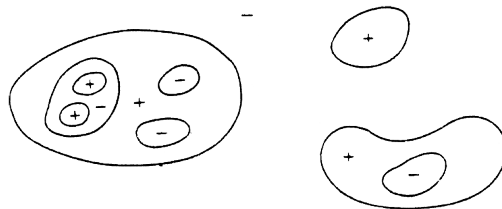


图 1:  $\langle 1 \amalg 1 \langle 1 \rangle \amalg 1 \langle 2 \amalg 1 \langle 2 \rangle \rangle \rangle$  所对应的卵形结构.

定义偶 (奇) 圈为外接卵形所套层数为偶 (奇) 数的圈, 例如图 1 中有 3 个 0 层圈 (外圈), 4 个一层圈, 2 个二层圈. 记  $p(n)$  为偶 (奇) 圈之总数, 则图 1 中  $(p, n) = (5, 3)$ .

Hilbert 于 1900 年将实代数曲线之卵形结构问题及其衍生问题提炼为如下四问<sup>1</sup>:

- **问题甲.** 非奇异  $m$  次代数曲线的卵形何以排列?
- **问题乙.** 对任一给定的  $m$  次 Hamilton 系统, 其极限环数量是否有限?
- **问题丙.** 若对 **问题乙.** 给出肯定作答, 则一切  $m$  次 Hamilton 系统之极限环数量是否存在一致上界  $H(m)$ ?
- **问题丁.** 若对 **问题丙** 给出肯定作答, 则  $H(m)$  取达之情形对应的极限环何以排列?

## 1.2 问题第一部分早期发展

$\mathcal{M}$ -曲线的卵形排列问题系 Hilbert 16 问题的重要议题, 纪事如下:

- 1876 年, Harnack 提出原始定理, 且给出一类  $\mathcal{M}$ -曲线之可行构造方式 [5], 即 Harack 曲线.
- 1891 年, Hilbert 给出另一类  $\mathcal{M}$ -曲线之可行构造方式 [6], 即 Hilbert 曲线, 且断言所有  $\mathcal{M}$ -曲线无外乎 Hilbert 曲线或 Harnack 曲线.<sup>2</sup>
- 1900 年, Hilbert 16th 问题正式提出.
- 1969 年, Gudkov 就 Hilbert 之断言给出反例, 并证明度为 6 的  $\mathcal{M}$ -曲线的所有 (三种) 卵形排列 [4]. 同时就  $\mathcal{M}$ -曲线提出猜想:

$$p - n \equiv k^2 \pmod{8}. \quad (2)$$

- 1972 年, Rokhlin 证明了 Gudkov 之猜想.[14]
- 1982 年, Viro 对  $m = 7$  时的  $\mathcal{M}$ -曲线进行分类, 并首创 Patchworking 方法. [16]<sup>3</sup>
- 1996 年, Viro 利用 Patchworking 方法证伪了 Ragsdale 猜想<sup>4</sup>. [9]

## 1.3 第二部分早期发展

相较 Hilbert 16th 问题的第一部分, 问题的第二部分侧重研究二元多项式函数导出的向量场

$$\begin{cases} \dot{x} = P(x, y), \\ \dot{y} = Q(x, y). \end{cases} \quad (3)$$

其中,  $P(x, y), Q(x, y)$  为次数不大于  $d$  的多项式, 记方程 3 为导出的  $d$  次向量场. 记  $\mathcal{S}(V)$  为向量场  $V$  中极限环之集合, 定义 Hilbert 数为  $\min\{\#\{\mathcal{S}(V) : \deg V = d\}\}$ . 早期研究成果如下

- 1987 年, [17] 与 [7] 中证明了任一给定的  $d$  次向量均有限极限环.<sup>5</sup>
- 1980 年前后, Andronova, Żołądek 等人给出了有 4 个极限环的两次向量场 [10], 以及有 11 个极限环的三次向量场 [18].
- [12] 给出有  $\frac{d^2 + 5d - 14}{2}$  个极限环的  $d$  次向量场.

<sup>1</sup>Second International Congress of Mathematicians, Paris, in 1900.

<sup>2</sup>Rohn 与 Gudkov 对该构造提出优化, Hilbert 之构造方式现可称 Hilbert-Rohn-Gudkov 方法

<sup>3</sup>引用文献系原作者自译的英文版本.

<sup>4</sup>Ragsdale 依照 Harnack 曲线与 Hilbert 曲线之特性猜想度为  $2k$  的实代数曲线始终满足  $p \leq 3\binom{k}{2} + 1$  与  $n \leq 3\binom{k}{2}$ . [13]

<sup>5</sup>即证明**问题乙**.

- [2] 构造了一类具有  $(1/2)d^2 \log_2 d + O(d^2)$ <sup>6</sup> 个极限环的  $d = 2^k - 1$  次向量场.
- 对  $d = 2^k - 1$ , Hilbert 数之下界为

$$2^{2k-1}(k-3) + 3(2^k - 1) = \frac{(d+1)^2}{2}(\log_2(d+1) - 3) + 3d. \quad (4)$$

## 2 Patchworking 方法的早期应用

本节旨在介绍 Patchworking 方法与  $\mathbb{P}_{\mathbb{R}}^2$  中一类实代数曲线之拓扑等价性, 系 Patchworking

### 2.1 多项式的子式逼近

为研究代数曲线拓扑性质, 自然的想法是将其连续变换到更易于研究之形式 (例如单纯复形). 对  $y = \sum_{k=0}^n a_k x^k$  而言, 对数坐标可将其在无穷远处的渐进性质极好地线性化, 因此将代数曲线在各象限内取对数坐标不失为策.

考虑多项式  $a(x, y) = 8x^3 - x^2 + 4y^3$ , 任取象限  $Q_{\varepsilon, \delta}$ <sup>7</sup>, 作各象限内同胚映射

$$l: Q_{\varepsilon, \delta} \rightarrow \mathbb{R}^2, \quad (x, y) \mapsto (u, v) := (\log |x|, \log |y|). \quad (5)$$

例如图 2 给出  $a(x, y) = 8x^3 - x^2 + 4y^2$  之零点集在各象限内的  $\log \log$  映射.

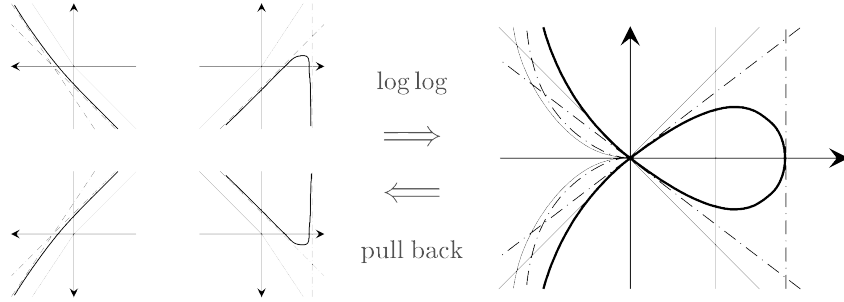


图 2:  $a(x, y) = 8x^3 - x^2 + 4y^2$  于各象限内的  $\log \log$  图.

可见零点集  $V_{Q_{\varepsilon, \delta}}(a)$  与之在  $\log \log$  映射下的像同胚, 且  $a(x, y)$  于坐标轴附近及无穷远处存在幂函数的渐进表示, 渐进幂函数即  $\log \log$  图中渐近线之原像. 易见  $a$  在特定区域  $(x, y) \in \Omega$  中渐近函数取决于  $\Omega$  中取值较大的单项式. 以含参多项式函数  $y = p(x) = 1 + x^2 + \alpha x$  为例, 端详图 3 可察觉  $\alpha$  与渐进幂函数之联系 (象限  $Q_{++}$  内): 给定区段内的渐进幂函数恰为  $y = \max\{1, x^2, \alpha x\}$ , 即局部取值极大之单项式.

一般地, 考虑  $Q_{++}$  内正系数一元多项式

$$p(x) = \sum_{k=0}^n a_k x^k, \quad a_k = e^{b_k} > 0, 0 \leq k \leq n. \quad (6)$$

记  $\Gamma_{L_p(u)}$  为对数图

$$L_p(u) = \ln \left( \sum_{k=0}^n e^{ku+b_k} \right) \quad (7)$$

<sup>6</sup>[2] 给出的下界为  $(1/8)d^2 \log_2 d$ .

<sup>7</sup>此处  $Q_{\varepsilon, \delta} := \{(\varepsilon s, \delta t) : s, t > 0\}$ ,  $\varepsilon, \delta \in \{\pm 1\}$ .

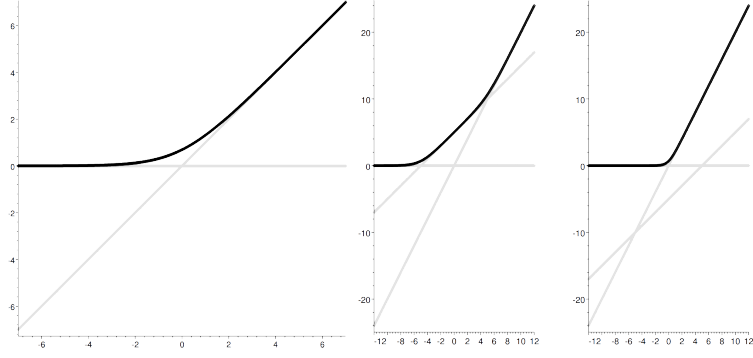


图 3:  $y = 1 + x^2$  及  $y = 1 + e^{\pm 5}x + x^2$  在  $Q_{++}$  内的  $\log \log$  图.

之图像. 定义极大单项式函数 ( $\log \log$  映射下)

$$M_p(u) = \max_k \{ku + b_k\}_{k=0}^n. \quad (8)$$

可见  $M_p$  为间断点有限的分段连续折线. 由渐进形态可得估计式

$$L_p(u) \leq M_p(u) = L_p(u) + R(u), \quad (9)$$

其中  $\lim_{u \rightarrow \infty} R(u) = 0$ .

## 2.2 Maslov 之降幂分析

估计式  $L_p \sim M_p$  导出以下问题:

1. 是否存在从  $L_p$  到  $M_p$  的连续变换<sup>8</sup>?
2. 该连续变换于某一截面  $t = t_0 \in [0, 1)$  上是否存在同构于原多项式环的加法与乘法的运算?

对问题 1, 有如下定理:

**定理 2.1.** 仍取  $p(x) = \sum_{k=0}^n a_k x^k$  为  $Q_{++}$  内正系数多项式. 对常数  $C > 0$ , 做变换

$$(u, v) \mapsto (Cu, Cv), (y = ax^k) \mapsto (y = a^C x^k), \Gamma_f \mapsto \Gamma_f^{1/C}. \quad (10)$$

记  $p_h(x) = \sum_{k=0}^n a_k^{1/h} x^k$ , 从而有  $C^0$  逼近

$$\lim_{h \rightarrow 0} \Gamma_{L_{p_h}(u)}^h \rightarrow \Gamma_{M_p(u)}. \quad (11)$$

**证明.** 注意到  $\Gamma_{M_{p_h}(u)}^h \equiv \Gamma_{M_p(u)}$ . 同时

- $\Gamma_{L_{p_h}(u)}$  连续对任意  $u \in \mathbb{R}$  成立,
- 根据极限  $\lim_{h \rightarrow 0^+} (|a|^{1/h} + |b|^{1/h})^h = \max\{|a|, |b|\}$  可知  $L_{p_h}(u/h) \rightarrow M_{p_h}(u/h)$  为单调递减的逐点收敛,
- 极限函数连续.

由 Dini 定理知任意有界闭子区间  $[-M, M]$  上存在一致收敛  $\Gamma_{L_{p_h}(u)}^h \rightarrow \Gamma_{M_p(u)}$ . 今任取  $\varepsilon > 0$ , 则存在  $M_0 > 0$  使得

<sup>8</sup>即存在完备空间  $(C^0(\mathbb{R}), \|\cdot\|_\infty)$  中的连续变化  $\{f_t\}_{t \in [0, 1]}$  使得  $f_0 = L_p$  且  $f_1 = M_p$

- 根据  $\lim_{u \rightarrow \infty} R(u) = 0$  可知存在  $M > 0$  使得对任意  $x \in [-M, M]$  总有

$$\sup_{|u| > M} |L_{p_h}(u/h) - M_{p_h}(u/h)| \leq \varepsilon, h \in (0, 1)$$

- 存在  $h_0 \in (0, 1)$  使得对一切  $h \in [0, h_0)$  总有  $\sup_{u \in [-M, M]} |L_{p_h}(u/h) - M_{p_h}(u/h)| \leq \varepsilon$ .  
收敛性得证. □

$y = x^2 - 2x + 2$  向其极大子式的  $C^0$  逼近如图 4 所示.

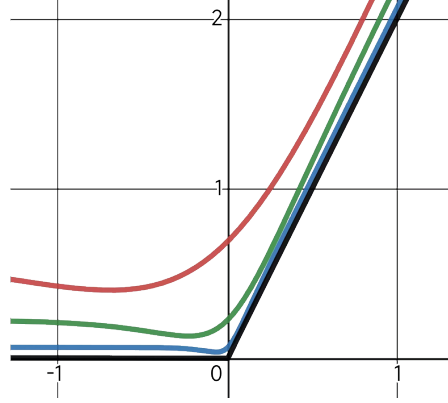


图 4:  $h \ln(e^{2u/h} - 2e^{u/h} + 2)$  在  $h \rightarrow 0$  时的  $C^0$  逼近.

对问题 2, 定义一族以  $h \in [0, \infty)$  为指标集之同态<sup>9</sup>:

$$D_h : \mathbb{R}[x_1, x_2, \dots] \rightarrow \{\log \log \text{ papers}\}, p \mapsto M_{p_h}(u/h). \quad (12)$$

其中  $D_h(a + b) = D_h(a) \oplus_h D_h(b)$ ,  $D_h(a \cdot b) = D_h(a) \odot_h D_h(b)$ . 故半环  $(S_h, \oplus_h, \odot_h)$  之运算求解如下:

$$a \odot_h b = a + b, \quad a \oplus_h b = \begin{cases} h \ln(e^{a/h} + e^{b/h}) & h > 0, \\ \max(a, b) & h = 0. \end{cases} \quad (13)$$

实际上, 对给定的  $a, b$ , 值  $a \otimes_h b$  与  $a \oplus_h b$  均连续依赖于  $h$ . 若将  $a, b$  视作数组或函数即可直接对应  $\ell^p, L^p$  等空间. 此类以一族偏序集上的同态定义加法运算之降格的分析方式称 Maslov 降幂分析, 是以有兴致者移步 [11]. 另需留意  $h \rightarrow \infty$  之情形导出诸如下表中的对应:

$(\mathcal{F}, +, \cdot)$	$(\mathcal{F}_0, \oplus_0, \odot_0)$
$p(x) = \sum_k a_k x^k$	$M_p(u) = \max_k \{ku + \ln a_k\}$
积分 $\int_X f$	本性上界 $\text{ess sup}_X \{f(x)\}$
Fourier 变换 $\tilde{f}(\xi) = \int e^{ix\xi} f(x) dx$	Legendre 变换 $\tilde{f}(\xi) = \text{ess sup} \{x \cdot \xi - f(x)\}$
线性问题	凸优化问题

### 2.3 平面多项式的连续逼近

前小节采用 Maslov 降幂法分析多项式  $p(x) - y$  的拓扑结构, 其核心系构造一些列多项式环到分段光滑多项式的  $C^0$  逼近. 对  $\Gamma_{a(x,y)}$  之  $C^0$  逼近类似  $Q_{++}$  内, 操作如下:

<sup>9</sup>实际上,  $h > 0$  时为同构关系.

- 对任给定多项式  $a(x, y) = \sum_{(i,j) \in I} a^{ij}(x, y)$ , 记  $a_+(x, y) := \sum_{(i,j) \in I} \frac{a^{ij} + |a^{ij}|}{2}$  为正项部分,  $a_- := a_+ - a$  为负项部分 ( $a = a_+ - a_-$ ).
- 定义  $C^0$  逼近至目标函数

$$M_{a_+}(u, v) = \sup_{(i,j) \in I_+} \{a^{ij} x^i y^j\}. \quad (14)$$

- 考虑  $\Gamma_{L_{a_+}(u,v)}$  之零点集至分段线性曲面  $\Gamma_{M_{a_+}(u,v)}$  的  $C^0$  逼近, 同理作  $\Gamma_{L_{a_-}(u,v)}, \Gamma_{M_{a_-}(u,v)}$ .
- 作  $\Gamma_{M_{a_+}(u,v)} \cap \Gamma_{M_{a_-}(u,v)}$  于平面  $z = 0$  上之投影即可, 如图 5 所示.

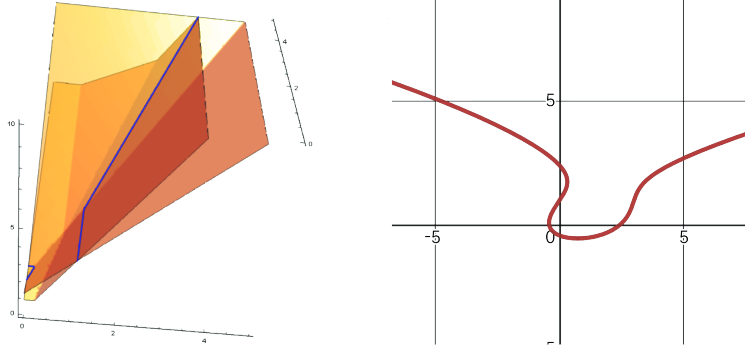


图 5:  $a(x, y) = x^3 + 2y + x + xy - (3x^2 + y^2 + 1) = 0$  拓扑之复现

## 2.4 坐标卡

定义准齐次多项式为具有以下类型的多项式

$$\sum_{(k_1, k_2, \dots, k_n) =: \vec{k} \in I} c_k \prod_{t=1}^n x_t^{k_t}, \quad I \text{ 为线段}. \quad (15)$$

易见其 Newton 凸包  $\Delta$ <sup>10</sup> 为一维单纯形 (线段) 或单点. 考虑最简单的准齐次二项式  $\alpha x^p + \beta y^q$ , 其中不妨假定  $\gcd(p, q) = 1$ . 易知  $l(V_{\mathbb{R}^2}(a))$  为垂直于  $\Delta(a)$  的线段.

对一般形式的准齐次二项式

$$a(x, y) = \sum_{0 \leq k+l \leq m} a_{k,l} x^k y^l. \quad (16)$$

记  $(w_1, w_2)$  为法向量, 其中  $\gcd(w_1, w_2) = 1$ . 则由对称性可知  $S_{(-1)w_1, (-1)w_2} = S_{1,1}$ , 记  $\Delta_*$  为  $\Delta$  经坐标轴对称所得. 称  $(\Delta_*, v)$  为  $a$  的坐标卡若  $\kappa(v \cap \Delta_{\varepsilon, \delta}) = \kappa(V_{Q_{\varepsilon, \delta}}(a))$ <sup>11</sup>, 且  $v = v_{(-1)w_1, (-1)w_2}$ . 例如图 6 中黑点 (右) 为准齐次多项式曲线 (左) 的某一可行之坐标卡.

对一般的二元准齐次多项式  $f = \sum_{i=0}^k \alpha_i x^{pi+p_0} y^{q(k-i)+q_0}$ ,  $\gcd(p, q) = 1$ , 由代数基本定理知其可分解为若干单项式与二项式之乘积. 从而  $f$  为若干准齐次二项式与准其三次项式之积, 后者不存在  $\mathbb{R}^2$  上的零点. 因此准齐次多项式  $l|_{\mathbb{R}^2}$  下的像为若干平行或重合直线之并. 不妨假定该多项式不含奇点因子 (如  $(\alpha x^p + \beta y^q)^2$ ), 从而排除”重合”之情形.

一般地, 可在 Newton 凸包的平整边缘处找到准其次多项式, 取  $\Gamma_i$  为任一边缘. 记  $DC_{\Delta}^-(\Gamma_i)$  为垂直于  $\Gamma$  向外的法向量, 显然  $V(a)$  在  $DC_{\Delta}^-(\Gamma_i)$  处的走向与  $V(a_i^{\Gamma})$  一致.

<sup>10</sup> 定义多项式  $a(x, y) = \sum_{(i,j) \in I} a^{ij} x^i y^j$  之 Newton 凸包为  $\Delta := \text{Conv}\{a^{ij} \neq 0 : (i, j) \in I\}$ , 高维情形同理.

<sup>11</sup>  $\kappa$  为道路连通分支数.

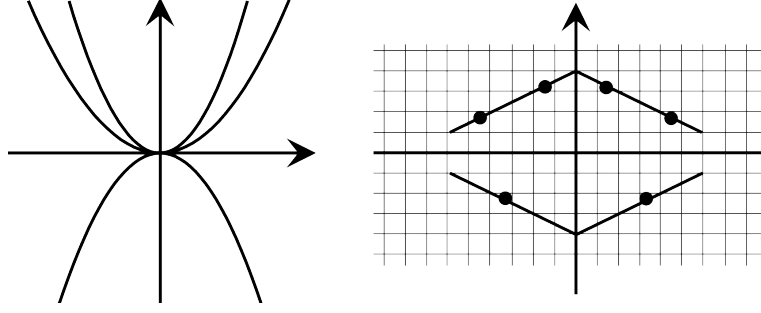


图 6:  $a = (x^2 - y)(x^2 + y)(2x^2 - y)y$  之坐标卡.

一般地考虑非退化情形<sup>12</sup>. 称曲线  $v \subset \Delta_*$  为坐标卡若且仅若:

- 任意选定 Newton 凸包之直边界  $\Gamma_i \in \partial\Delta$ , 记  $a^{\Gamma_i}$  为原多项式在  $\Gamma_i$  上截断生成的准齐次多项式.  $(\Gamma_{i*}, \Gamma_{i*} \cap v)$  为  $a^{\Gamma_i}$  的坐标卡.
- 记  $D \subset \mathbb{R}^2$  为原点附近足够小的邻域,  $l$  任给定  $\varepsilon, \delta \in \{\pm 1\}$ , 存在同胚  $h_{\varepsilon, \delta} : D \rightarrow \Delta$  使得

$$v \cap \Delta_{\varepsilon, \delta} = S_{\varepsilon, \delta} \circ h_{\varepsilon, \delta} \circ l(V_{l^{-1}(D) \cap Q_{\varepsilon, \delta}}(a)). \quad (17)$$

换言之,  $a$  在给定象限中的局部  $l$ -图像于  $(\varepsilon, \delta)$ -反射下与  $v \cap D_{\varepsilon, \delta}$  同胚. 此时, 在同胚映射 17 下,  $a$  的外端点应落在  $\Gamma_i$  上.

一般地, 非准齐次多项式的坐标卡计算可分解为以下两步骤:

1. 将多项式之 Newton 凸包 (第一象限内) 剖分为若干格点三角形之不交并, 其中每一三角形不含内格点. 将上述三角剖分经坐标轴反射后, 计算每一三角形及其对称相内的坐标卡.
2. 容许修改原多项式系数, 使得所有三角形内坐标卡粘合所得的曲线<sup>13</sup> 对应某一类多项式.

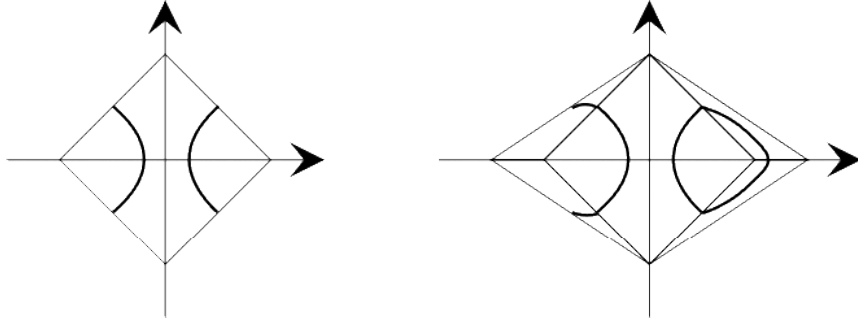


图 7: 将  $8x^3 - x^2 + 4y^2$  之坐标卡粘合于  $4y^2 - x^2 + 1$ .

## 2.5 平面代数曲线的 Patchworking 定理

对一般的非准齐次多项式  $a(x, y) = \sum_{(i,j) \in I} a^{ij} x^i y^j$  对应的 Patchworking 方法, 引理 2.2, 2.3 给出”分而治之”的处理方式:

<sup>12</sup>即确保  $\overline{\text{Int}(\Delta)} = \Delta$ .

<sup>13</sup>此处不妨假定坐标卡与三角形边界交于中点.

**引理 2.2.** 对非准齐次二元三项式

$$a(x, y) = \sum_{i=1}^3 a_k x^{i_k} y^{j_k}, \quad \det \begin{pmatrix} i_1 - i_2 & i_2 - i_3 \\ j_1 - j_2 & j_2 - j_3 \end{pmatrix} \neq 0. \quad (18)$$

坐标构造如下:

1. 记 *Newton* 凸包 (三角形)  $\Delta$  中顶点  $(i, j)$  处符号为  $\sigma_{ij} := \text{sgn}(a^{ij})$ .
2. 记  $(\varepsilon i, \delta j) \in \Delta_*$  为  $\Delta$  中顶点对称所得, 令其符号  $\sigma_{\varepsilon i, \delta j}$  为

$$\sigma_{\varepsilon i, \delta j} = \begin{cases} \sigma_{i,j} & \|(i, j) - (\varepsilon i, \delta j)\|_1 = 4k, \\ -\sigma_{i,j} & \|(i, j) - (\varepsilon i, \delta j)\|_1 = 4k + 2. \end{cases} \quad (19)$$

3. 在每一三角形内做分离顶点符号的中位线<sup>14</sup>; 若无, 则不作.

记所得的分段折线为  $L$ , 则存在多项式零点集实现 *Patchworking*  $(\Delta_*, L)$  给出的拓扑. 记  $(\overline{\Delta_*}, L)$  为  $\mathbb{P}^2$  中的 *Patchworking*.

**证明.** 归纳即可, 细节待补充.... □

**引理 2.3.** 对有限个多项式  $\{a_i\}_{i \in I < \infty}$ , 若其满足

- $\text{Int}(\Delta(a_i)) \cap \Delta(a_j)$ , 即 *Newton* 凸包两两至多交于边界.
- 若存在边界  $\Gamma_{ij} = \Delta(a_i) \cap \Delta(a_j)$ , 则  $a_i^{\Gamma_{ij}} = a_j^{\Gamma_{ij}}$ , 即两多项式在  $\Gamma_{ij}$  的截断上相等.
- $\cup_{i \in I} \Delta(a_i)$  为凸多边形.

记  $(\Delta_*(a_i), L(a_i))$  为 *Patchworking*, 则  $(\cup_{i \in I} \Delta(a_i), \cup_{i \in I} L(a_i))$  为一类代数曲线的 *Patchworking*. 该定理称作粘合定理.

**证明.** 不妨设  $a_i$  均为三项式, 从而  $\mathbb{T} := \{\Delta(a_i) \mid i \in I\}$  为  $\Delta := \cup_{i \in I} \Delta_i$  的三角剖分. 定义三角剖分  $(\Delta, \mathbb{T})$  上的凸化多项式  $\nu: \Delta \rightarrow \mathbb{R}$ , 其满足

- $\nu$  在每一三角  $\Delta_i \in \mathbb{T}$  上关于  $x, y$  线性.
- 对任意  $i \neq j$ ,  $\nu$  在  $\Delta_i \cup \Delta_j$  上不线性.
- $\nu$  为上凸函数, 即  $\{(s, t, \nu(s, t)) \mid (s, t) \in \Delta\}$  为上凸曲面
- 对任意  $(i, j) \in \mathbb{Z}^2 \cap \Delta$ ,  $\nu(i, j) \in \mathbb{Z}$ .

考虑曲线  $b(t, x, y) := \sum_{(i,j) \in \Delta} a^{ij} x^i y^j t^{\nu(i,j)}$ . 对任意选定的  $k$ , 记  $l_k(i, j) = \alpha_k i + \beta_k j + \gamma_k$  为  $\nu|_{\Delta_k}$  于  $\Delta$  上自然的线性延拓, 记  $\nu_k := \nu - l_k$ . 考虑坐标变换

$$M_k(x, y) = (xt^{\alpha_k}, yt^{\beta_k}). \quad (20)$$

记  $b_k(t, x, y) = \sum_{(i,j) \in \Delta} a^{ij} x^i y^j t^{\nu_k(i,j)}$ , 由于  $t^{\nu_k}$  在  $\Delta_k$  上取值非小量, 故

$$b_k(t, x, y) = t^{-\gamma_k} b(t, \cdot) \circ M_k(x, y). \quad (21)$$

从而当  $t \rightarrow 0$  时,  $b_k(t, x, y)$  主部趋向  $V_{(\mathbb{R}-0)^2} a_k$  之坐标卡, 余项中拓扑 (卵形结构等) 趋向坐标轴或无穷远处. 换言之, 对于任意小的  $\epsilon > 0$ , 定义紧集  $\Omega_\epsilon := \{(x, y) : |x|, |y| \in (\epsilon, \epsilon^{-1})\}$ , 则总存在足够小的  $t_0 > 0$  使得对任意  $t \in (0, t_0)$  总有  $M_k^{-1}(\Omega_\epsilon)$  两两不交. 同时,  $b_k(t, x, y)$   $\Omega_\epsilon$  上的零点集同胚于坐标卡  $(\Delta_*(a_k), L(a_k))$ .

实际上, 对固定的  $t \in (0, t_0)$ , 上述同胚对  $\Delta_k$  的某一小邻域成立, 即  $(\Delta_*(a_k), L(a_k))$  与  $(\Delta_*(a_l), L(a_l))$  相连若且仅若  $\Delta(a_k) \cap \Delta(a_l) \neq \emptyset$ . 粘合定理证毕. □

<sup>14</sup>三角形  $\triangle ABC$  中, 边  $AB$  对应的中位线为  $\frac{A+C}{2}$  与  $\frac{B+C}{2}$  之线段.



根据 Patchworking 引理, 2.2, 2.3 不难直接总结出一套构造  $d$  次实平面代数曲线之拓扑的方式, 下将之提炼为定理 2.4

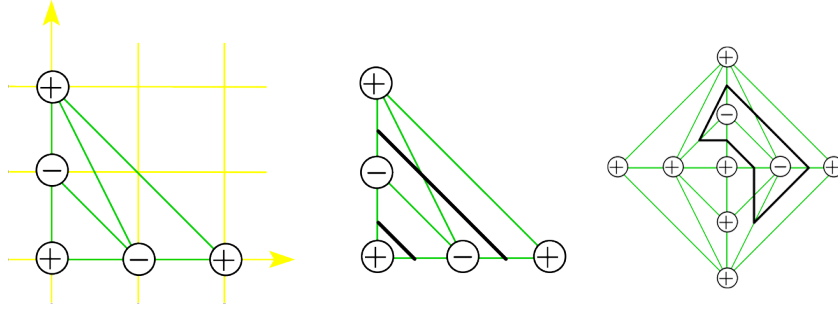


图 8: Patchworking 方法之构造过程一览.

**定理 2.4.** 以下步骤的 *Patchworking* 对应一类  $d$  次实平面代数曲线之拓扑:

1. 输入初值: 次数  $d$ , *Newton* 凸包  $\Delta$ , 三角剖分  $\mathbb{T}$ , 凸化多项式  $\nu$ , 顶点符号  $\sigma_{i,j}$  (见 8 左).
2. 作  $(\Delta, \mathbb{T})$  在四个象限内的对称像, 依照 1.9 定义  $\Delta_*$  上的符号 (见 8 中).
3. 在每一剖分与反射所得三角形内做分离顶点符号的中位线; 若无, 则不作 (见 8 右).

从而存在足够小的  $t_0$ , 使得对任意  $t \in (0, t_0)$ , 多项式

$$b(t, x, y) = \sum_{(k,l) \in \mathcal{V}(\tau)} \sigma_{k,l} \cdot t^{\nu(k,l)} \cdot x^k y^l. \quad (22)$$

之零点集  $c(t)$  具有 *Patchworking* 方法构造出的拓扑结构. 换言之,  $(\Delta_*, L)$  与  $(\mathbb{A}_{\mathbb{R}}^2, c(t))$  同胚.

考虑  $b(t, x, y)$  在  $\mathbb{P}_{\mathbb{R}}^2$  上的形式

$$B(t, x_0, x_1, x_2) = \sum_{(k,l) \in \mathcal{V}(\tau)} \sigma_{k,l} \cdot t^{\nu(k,l)} \cdot x_0^{d-k-l} x_1^k x_2^l. \quad (23)$$

记其零点集对应的曲线为  $C(t)$ . 同理,  $(\overline{\Delta}_*, \overline{L})$  与  $(\mathbb{P}_{\mathbb{R}}^2, C(t))$  同胚.

**证明.** 由 2.2 与 2.3 直接推得. □

### 3 构造实例

#### 3.1 度为 6 的 M-曲线

章节 1.2 介绍  $d = 6$  的  $\mathcal{M}$  曲线的三种. 其中 Harnack 构造如下

### 4 向量场上的 Patchworking

#### 4.1 极限环与奇点的粘合定理

由定理 [XX] 可见, Pathworking 方法通过构造 *Newton* 凸包上某类特定的折线段给出一类相应的代数曲线. 进而有以下问题:

**能否通过 Patchworking 方法构造向量场中奇点与极限环之拓扑?**

实际上, [8] 中给出以下粘合定理 (传统 Patchworking 方法引理 [2])

Harnack 构造步骤:

1. 将示意图中圈与直线之并微扰, 得蓝色曲线.
2. 将所得的蓝色曲线与原直线 (黑) 相并, 再次微扰之得绿色曲线.
3. 如此往复操作可得红色曲线以及更多.

一般地, 度为  $2k$  的 Harnack 曲线拥有

- 不含  $\langle 1(1) \rangle$ , 即三重套叠圈.
- $p = 3\binom{k}{2} + 1$  个外圈 (偶圈)
- $n = \binom{k-1}{2}$  内圈 (奇圈)

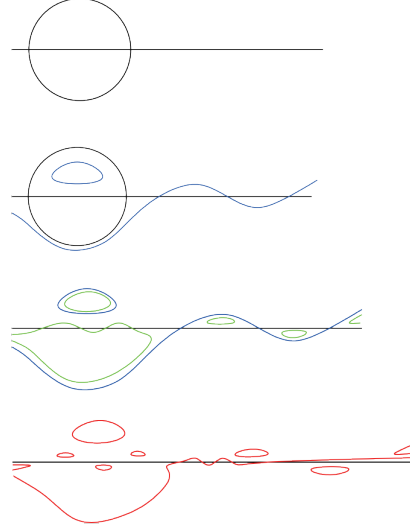


图 9: The idea of Harnack's construction.

鉴于  $\partial_x$  与  $\partial_y$  在凸包上的平移作用, 定义

$$\begin{cases} \Delta^x = \text{conv}(\{(i, j-1) \mid (i, j) \in \Delta \mathbb{Z}^2, j \geq 1\}), \\ \Delta^y = \text{conv}(\{(i-1, j) \mid (i, j) \in \Delta \mathbb{Z}^2, j \geq 1\}). \end{cases} \quad (24)$$

称系统 3 为相合的若且仅若  $\Delta(P) = \Delta^x$  且  $\Delta(Q) = \Delta^y$ . 易见 Hamilton 系统<sup>15</sup> 相合. 换言之, 系统  $x\dot{y} = xQ(x, y)$  与  $y\dot{x} = yP(x, y)$  拥有相同”右上边界”的凸包.

对于相合的 3, 记  $(\Delta, \mathbb{T})$  为三角剖分 (或更一般的凸多边形剖分),  $\nu$  为其上的凸化函数, 令

$$\begin{cases} \nu^x(i, j) = \nu(i, j+1), & (i, j) \in \Delta^x, \\ \nu^y(i, j) = \nu(i+1, j), & (i, j) \in \Delta^y. \end{cases} \quad (25)$$

类比实代数曲线之粘合定理, 一族向量场上存在关于极限环与奇点分布之粘合定理 4.1, 4.2.

记  $\Lambda$  为向量场  $V$  中极限环若且仅若对任意  $(x, y) \in \Lambda$  存在一致的  $T_0 > 0$  使得  $(x, y)(t + T_0) = (x, y)(t)$  对任意  $t \in \mathbb{R}$  恒成立. 记  $\mathcal{S}(V)$  为  $V$  中极限环之集合. 对一般的  $(\Delta, \mathbb{T})$ , 有以下极限环之粘合定理:

**定理 4.1.** 记三角剖分  $(\Delta, \mathbb{T})$ . 对一切  $V_i \in \mathbb{T}$  ( $1 \leq i \leq N$ ), 任取向量场  $V_i$  与  $\Delta_i$  相合, 则存在与无交并  $\coprod_{i=1}^N \mathcal{S}(V_i)$  结构同等的向量场

$$V(t) : \begin{cases} \dot{x} = \sum_{(i,j) \in \Delta^x} A_{ij} x^i y^j t^{\nu^x(i,j)}, \\ \dot{y} = \sum_{(i,j) \in \Delta^y} B_{ij} x^i y^j t^{\nu^y(i,j)}. \end{cases} \quad (26)$$

其中  $t > 0$  充分小.

<sup>15</sup>满足  $\dot{y} = \partial_x H(x, y)$ ,  $\dot{x} = -\partial_y H(x, y)$  之向量场.

**证明.** 延拓向量场为如下形式

$$V(t) : \begin{cases} \dot{x}y = \sum_{(i,j) \in \Delta_k} A_{i,j-1} x^i y^j t^{\nu(i,j)}, \\ \dot{y}x = \sum_{(i,j) \in \Delta_k} B_{i-1,j} x^i y^j t^{\nu(i,j)}. \end{cases} \quad (27)$$

采用 2.5 中对  $l_k, \nu_k$  及  $M_k$  之构造, 从而当  $t$  足够小时  $t^{\nu-l_k}$  仅在  $\Delta_k$  上非小量, 故向量场化为

$$\begin{aligned} \dot{x}y &= t^{\alpha_k+\beta_k+\gamma_k} \sum_{(i,j) \in \Delta} A_{i,j-1} x^i y^j t^{\nu_k(i,j)} = t^{\alpha_k+\beta_k+\gamma_k} ((V_k)_x + O(t)), \\ \dot{y}x &= t^{\alpha_k+\beta_k+\gamma_k} \sum_{(i,j) \in \Delta} B_{i-1,j} x^i y^j t^{\nu_k(i,j)} = t^{\alpha_k+\beta_k+\gamma_k} ((V_k)_y + O(t)). \end{aligned} \quad (28)$$

记  $\Omega$  为包含一切  $V_k$  中极限环的紧集<sup>16</sup>, 满足  $\Pi_{i=1}^N \mathcal{S}(V_i) \subset \Omega \subset (\mathbb{R} - 0)^2$ . 注意到当  $t$  足够小时有总有  $\{M_k^{-1}(\Omega) \mid 1 \leq k \leq N\}$  两两不交. 综上, 存在  $t_0 > 0$  使得对任意  $t \in (0, t_0)$ ,  $\mathcal{S}(V(t)) = \Pi_{i=1}^N \mathcal{S}(V_i)$ .  $\square$

同理, 存在奇点粘合定理. 此处称  $z_0 = (x_0, y_0)$  为向量场 3 之奇点若且仅若  $P(x_0, y_0) = Q(x_0, y_0) = 0$ . 称奇点非退化若且仅若  $(\nabla P) \wedge (\nabla Q) \neq 0$ . 记  $c_i$  为  $E_j$ -类型的极限点之数量, 其中  $j \in J$  为指标集. 记  $\bar{c} = (c_j, j \in J)$ , 则有以下奇点之粘合定理

**定理 4.2.** 存在  $t_0 > 0$ , 使得对任意  $t \in (0, t_0)$  总有  $c_j(V(t)) \geq \sum_{k=1}^N c_j(V_k), \forall j \in J$ .

定理 4.2 证明从略, 其证明思路几乎等同于 4.1.

特别地, 若  $\sum_{j \in J} \sum_{k=1}^N c_j(V_k) = 2\text{Volume}(\Delta^x \cup \Delta^y)$ , 则  $\bar{c}(V(t)) = \sum_{k=1}^N \bar{c}(V_k)$ , 即  $V(t)$  给出诸  $V_k$  中奇点总数与类型之加和. 实际上, 向量场中奇点数量之上界恰为  $2\text{Volume}(\Delta^x \cup \Delta^y)$  [1], 从而不等号取等.

## 4.2 应用: Hilbert 数之下界估计

[3] 给出的估计式 4 当且仅当对  $d = 2^k - 1$  之情形生效, 而 Patchworking 方法对一般多项式之 Newton 凸包进行切分, 从而利用粘合定理 4.1 进行 Hilbert 数之估计. [8] 中的估计结果为  $H(d) \geq (d^2/2) \log_2 d + (d^2/8) \log_2 d$ , 其中  $d \geq 3$ . [3] 中结论 4 所给的 Newton 凸包实际为  $\{(1, 1), (1, 1+2^k), (1+2^k, 1)\}$ , 而在对一般  $\Delta = \{(1, 1), (1, d+1), (d+1, 1)\}$  之估计中, 参与粘合 Newton 凸包不乏形如  $\{(2^k+1, 1)(1, 1+2^k), (1+2^k, 1+2^k)\}$  者, 故须援引以下引理:

**引理 4.3.** 凸包  $\{(2^k+1, 1)(1, 1+2^k), (1+2^k, 1+2^k)\}$  中对应向量场的极限环数量仍符合 4, 即极限环数量上界至少为

$$2^{2k-1}(k-3) + 3(2^k-1) = \frac{(d+1)^2}{2}(\log_2(d+1)-3) + 3d.$$

**证明.** 记

$$\tilde{V} : \quad \tilde{P}_k(x, y) = xyP_k(x, y) + xp_k(x), \quad \tilde{Q}_k(x, y) = xyQ_k(x, y) + yq_k(y). \quad (29)$$

<sup>16</sup>每一  $V_k$  中均有至多有限个极限环, 见 [17] 与 [7].

此处, 对向量场乘以  $xy$  不改变  $(\mathbb{R} - 0)^2$  中极限环结构,  $p$  与  $q$  为取值较小<sup>17</sup> 的  $2^k$  次一元多项式. 故  $(xy)^{2^k} \cdot \tilde{V}(1/x, 1/y)$  即为所得.  $\square$

[8] 对  $d \geq 3$  时 Hilbert 数之下界估计如下.

**定理 4.4.** 对任意  $d \geq 3$ , 总有

$$H(d) \geq (d^2/2) \log_2 d + (d^2/8)(d^2) \log_2 d. \quad (30)$$

**证明.** 不妨设  $d \geq 36$ , 记  $d' = \lfloor d - 6 \log_2 d \rfloor$ . 考虑二进制分解  $d' = \sum_{i_1 < i_2 < \dots < i_k} 2^{i_j}$  导出的 Newton 凸包  $\text{conv}\{(1, 1), (1, 1 + 2^k), (1 + 2^k, 1)\}$  上的三角剖分<sup>10</sup>. 实际上, 考虑 0 次项的存在以及重叠

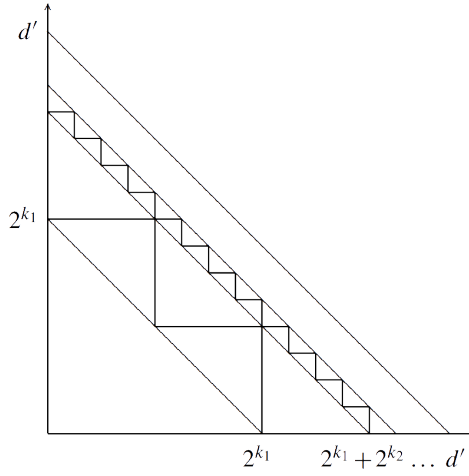


图 10: 二进制分解导出的理论三角剖分.

出之兼容, 每一三角形实际占据空间大小应当为三角形本身的 1-网<sup>18</sup>. 职是之故, 定义  $d'$  之用意即为构造  $d$  在兼顾 1-网时的近似二进制划分<sup>11</sup>. 考虑<sup>11</sup> 中第二斜行未溢出的三角形, 每一边长为  $2^k$  的内部三角形 (虚线处) 可容许存在

$$2^{2k-1}(k-3) + 3(2^k - 1) = (k-3)2^{2k-1}$$

个极限环, 第二斜行中未溢出之三角形大小  $k \geq \log_2 d - \log \log_2 d - 3$ , 取  $\mathbb{T}'$  为只记录上述三角形的不完全三角剖分. 加和知

$$\begin{aligned} \sup |\mathcal{S}| &\geq (s-3) \cdot |\cup_{\Delta \in \mathbb{T}'} \Delta| \\ &\geq (\log_2 d - \log \log_2 d - 6) \cdot \frac{1}{2} \left( d' - \frac{2d'}{\log_2 d} \right)^2 \\ &\geq (\log_2 d - \log \log_2 d - 6) \cdot \frac{1}{2} \left( d - \frac{2d}{\log_2 d} - 6 \log_2 d \right)^2 \\ &\geq \frac{1}{2} d^2 \log_2 d - \frac{1}{8} d^2 \log \log_2 d. \end{aligned} \quad (31)$$

$\square$

<sup>17</sup>取值较小相对  $\Omega$  而言,  $\Omega$  为覆盖极限环的某一紧区域.

<sup>18</sup>集合  $S$  的  $\varepsilon$ -网定义为  $S_\varepsilon := \cup_{x \in S} B_\varepsilon(x)$ .

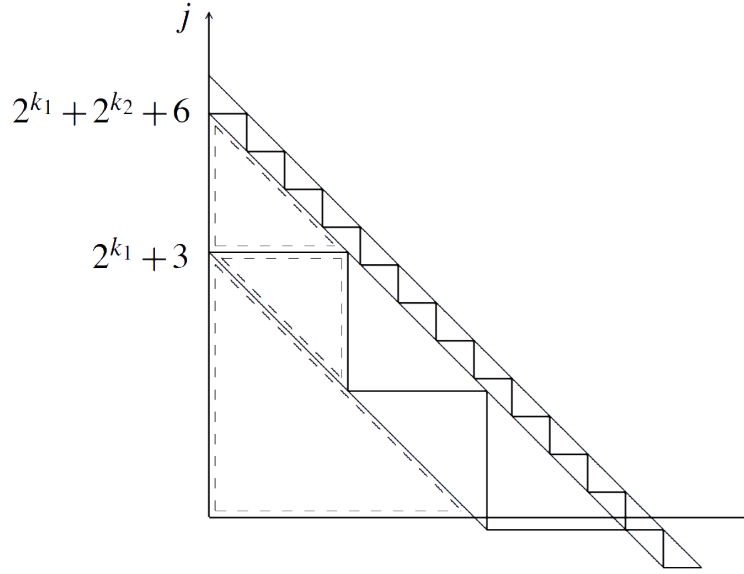


图 11: 考虑 1-网时二进制分解导出的实际三角剖分.

### 4.3 Patchworking 与向量场拓扑

非退化实奇点的局部线性化矩阵所对应的像图包括如下三类: 吸引子 ( $\Sigma_1$ ), 反吸引子 ( $\Sigma_2$ ), 鞍点 ( $\Sigma_3$ ). 其中, 称向量场子集  $S$  为吸引子若且仅若

- 对任意  $z = (x, y) \in S$  以及一切  $t > 0$ ,  $\varphi_t(z) \in S$ ,
- 存在  $\bar{S}$  的邻域  $S'$ , 使得对任意  $z \in S' - \bar{S}$ , 总存在  $t_z > 0$  使得  $\varphi_{t_z+t}(z) \in S$  对一切  $t \geq 0$  成立,
- $S$  的任一真子集不同时满足前两条性质, 即任何吸引子不真包含于其他吸引子.

反吸引子由吸引子颠倒箭头所得.

若某非退化实奇点之局部线性化矩阵拥有相异的特征值, 则称之强非退化. 强非退化奇点有五类拓扑:

- 汇点 ( $S_1$ ), 满足  $\lambda_1 < \lambda_2 < 0$ .
- 源点 ( $S_2$ ), 满足  $\lambda_1 > \lambda_2 > 0$ .
- 虚汇点 ( $S_3$ ), 满足  $\text{Re}\lambda_1 = \text{Re}\lambda_2 < 0$ .
- 虚源点 ( $S_4$ ), 满足  $\text{Re}\lambda_1 = \text{Re}\lambda_2 > 0$ .
- 鞍点 ( $S_5$ ), 满足  $\lambda_1 < 0 < \lambda_2$ .

其中,  $\Sigma_i$  与  $S_i$  均为集合, 且满足  $(S_1 \cup S_3) \subset \Sigma_1$ ,  $(S_2 \cup S_4) \subset \Sigma_2$ ,  $\Sigma_3 = S_5$ . 例如奇异吸引子 12 非  $S_1$  或  $S_3$ .

记  $\Sigma_i$  ( $S_i$ ) 中的奇点数量为  $\sigma_i$  ( $s_i$ ),  $s_0$  为上半平面内虚奇点之数量. [8] 中使用类似的粘合定理证明了

**定理 4.5.** 对任意  $d \geq 0$ , 若  $\{s_i\}_{i=0}^5$  满足

$$2s_0 + s_1 + s_2 + s_3 + s_4 + s_5 = d^2, \quad |s_1 + s_2 + s_3 + s_4 - s_5| \leq d, \quad (32)$$

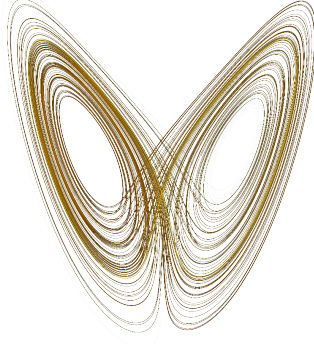


图 12: Lorenz 奇异吸引子

且

$$s_1 + s_2 \geq \begin{cases} 1, & d \text{ 为奇数}, s_1 + s_2 + s_3 + s_4 - s_5 \geq 3, \\ 1, & d \text{ 为偶数}, (d-1)(d-2) \leq 2s_0 < d^2, s_1 + s_2 + s_3 + s_4 - s_5 \geq 0, \\ 2, & d \text{ 为偶数}, 2s_0 \leq (d-1)(d-2), s_1 + s_2 + s_3 + s_4 - s_5 \geq 0. \end{cases} \quad (33)$$

则存在满足上述拓扑的平面给向量场.

**定理 4.6.** 对任意  $d, s_0, \sigma_i \geq 0$ , 若满足

$$2s_0 + \sigma_1 + \sigma_2 + \sigma_3 = d^2, \quad |\sigma_1 + \sigma_2 - \sigma_3| \leq d^2. \quad (34)$$

则存在满足上述拓扑的平面给向量场.

## 5 致谢

...

## 参考文献

- [1] D. N. Bernshtein. "The number of roots of a system of equations". In: *Functional Analysis and Its Applications* 9.3 (July 1975), pp. 183–185. issn: 1573-8485. doi: [10.1007/BF01075595](https://doi.org/10.1007/BF01075595). url: <https://doi.org/10.1007/BF01075595>.
- [2] C. J. Christopher and N. G. Lloyd. "Polynomial Systems: A Lower Bound for the Hilbert Numbers". In: *Proceedings: Mathematical and Physical Sciences* 450.1938 (1995), pp. 219–224. issn: 09628444. url: <http://www.jstor.org/stable/52668> (visited on 05/31/2022).
- [3] C. J. Christopher and N. G. Lloyd. "Polynomial systems: a lower bound for the Hilbert numbers". In: *Proceedings of the Royal Society of London. Series A: Mathematical and Physical Sciences* 450.1938 (1995), pp. 219–224. doi: [10.1098/rspa.1995.0081](https://royalsocietypublishing.org/doi/pdf/10.1098/rspa.1995.0081). eprint: <https://royalsocietypublishing.org/doi/pdf/10.1098/rspa.1995.0081>. url: <https://royalsocietypublishing.org/doi/abs/10.1098/rspa.1995.0081>.
- [4] M. Gudkov. "Construction of a new series of  $M$ -curves." In: *Dokl. Akad. Nauk SSSR* 200 (1971), pp. 1269–1272. url: <http://mi.mathnet.ru/dan36483>.
- [5] Harnack. "Ueber die Vieltheiligkeit der ebenen algebraischen Curven". ger. In: *Mathematische Annalen* 10 (1876), pp. 189–198. url: <http://eudml.org/doc/156719>.

- [6] D. Hilbert. “Ueber die reellen Züge algebraischer Curven.” In: *Mathematische Annalen* 38 (1891), pp. 115–138. URL: <http://dml.mathdoc.fr/item/GDZPPN002252945>.
- [7] Yu. Ilyashenko. In: *Uspekhi Mat. Nauk* 45 (1990), pp. 143–200. URL: <http://mi.mathnet.ru/umn4718>.
- [8] Ilia Itenberg and Eugenii Shustin. “Singular points and limit cycles of planar polynomial vector fields”. In: *Duke Mathematical Journal* 102.1 (2000), pp. 1–37. DOI: [10.1215/S0012-7094-00-10211-6](https://doi.org/10.1215/S0012-7094-00-10211-6). URL: <https://doi.org/10.1215/S0012-7094-00-10211-6>.
- [9] Ilia Itenberg and Oleg Viro. “Patchworking algebraic curves disproves the ragsdale conjecture”. In: *The Mathematical Intelligencer* 18.4 (Sept. 1996), pp. 19–28. ISSN: 0343-6993. DOI: [10.1007/BF03026748](https://doi.org/10.1007/BF03026748). URL: <https://doi.org/10.1007/BF03026748>.
- [10] Jibin Li. “Hilbert’s 16th Problem and bifurcations of Planar Polynomial Vector Fields”. In: *Int. J. Bifurc. Chaos* 13 (2003), pp. 47–106.
- [11] G. L. Litvinov. *The Maslov dequantization, idempotent and tropical mathematics: A brief introduction*. 2005. DOI: [10.48550/ARXIV.MATH/0507014](https://arxiv.org/abs/math/0507014). URL: <https://arxiv.org/abs/math/0507014>.
- [12] N. F. Otrokov. “On the number of limit cycles of differential equations in a neighbourhood of a singular point”. Russian. In: *Mat. Sb. (N.S.)* 34 (), pp. 127–144.
- [13] V. Ragsdale. “On the Arrangement of the Real Branches of Plane Algebraic Curves”. In: *American Journal of Mathematics* 28.4 (1906), pp. 377–404. ISSN: 00029327, 10806377. URL: <http://www.jstor.org/stable/2370070> (visited on 05/29/2022).
- [14] V. A. Rokhlin. “Proof of Gudkov’s hypothesis”. In: *Functional Analysis and Its Applications* 6.2 (Apr. 1972), pp. 136–138. ISSN: 1573-8485. DOI: [10.1007/BF01077517](https://doi.org/10.1007/BF01077517). URL: <https://doi.org/10.1007/BF01077517>.
- [15] O. Ya. Viro. “Curves of degree 7, curves of degree 8, and the Ragsdale conjecture”. In: *Dokl. Akad. Nauk SSSR* 254.6 (1980), pp. 1306–1310. URL: <http://mi.mathnet.ru/dan43983>.
- [16] Oleg Viro. *Patchworking real algebraic varieties*. 2006. DOI: [10.48550/ARXIV.MATH/0611382](https://arxiv.org/abs/math/0611382). URL: <https://arxiv.org/abs/math/0611382>.
- [17] Jean-Christophe Yoccoz. “Non-accumulation de cycles limites”. fre. In: *Séminaire Bourbaki* 30 (1987), pp. 87–103. URL: <http://eudml.org/doc/110104>.
- [18] H. Zoladek. “Eleven small limit cycles in a cubic vector field”. In: *Nonlinearity* (1995).